



UTMACH

FACULTAD DE INGENIERÍA CIVIL

CARRERA DE INGENIERÍA CIVIL

ANÁLISIS ESTRUCTURAL DE CARGAS GRAVITACIONALES PARA UN
PÓRTICO PLANO DE SIETE NIVELES Y CUATRO VANOS APLICANDO
EL MÉTODO DE KANI

ARMIJOS JARAMILLO SOLANGE LISBETH
INGENIERA CIVIL

MACHALA
2020



UTMACH

FACULTAD DE INGENIERÍA CIVIL

CARRERA DE INGENIERÍA CIVIL

**ANÁLISIS ESTRUCTURAL DE CARGAS GRAVITACIONALES
PARA UN PÓRTICO PLANO DE SIETE NIVELES Y CUATRO
VANOS APLICANDO EL MÉTODO DE KANI**

**ARMIJOS JARAMILLO SOLANGE LISBETH
INGENIERA CIVIL**

**MACHALA
2020**



UTMACH

FACULTAD DE INGENIERÍA CIVIL

CARRERA DE INGENIERÍA CIVIL

EXAMEN COMPLEXIVO

ANÁLISIS ESTRUCTURAL DE CARGAS GRAVITACIONALES PARA UN PÓRTICO
PLANO DE SIETE NIVELES Y CUATRO VANOS APLICANDO EL MÉTODO DE
KANI

ARMIJOS JARAMILLO SOLANGE LISBETH
INGENIERA CIVIL

PANTOJA AGUACONDO DAVID ELOY

MACHALA, 20 DE FEBRERO DE 2020

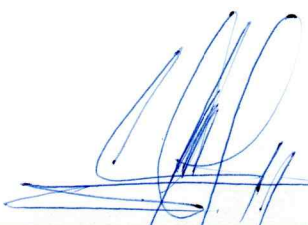
MACHALA
20 de febrero de 2020

Nota de aceptación:

Quienes suscriben, en nuestra condición de evaluadores del trabajo de titulación denominado ANÁLISIS ESTRUCTURAL DE CARGAS GRAVITACIONALES PARA UN PÓRTICO PLANO DE SIETE NIVELES Y CUATRO VANOS APLICANDO EL MÉTODO DE KANI, hacemos constar que luego de haber revisado el manuscrito del precitado trabajo, consideramos que reúne las condiciones académicas para continuar con la fase de evaluación correspondiente.



PANTOJA AGUACONDO DAVID ELOY
0702321191
TUTOR - ESPECIALISTA 1



AÑAZCO CAMPOVERDE GILBERT ADRIAN
0704619618
ESPECIALISTA 2



ORDÓÑEZ FERNANDEZ JOSÉ LUIS
0703830646
ESPECIALISTA 3

Fecha de impresión: martes 18 de febrero de 2020 - 15:35

ANÁLISIS ESTRUCTURAL DE CARGAS GRAVITACIONALES PARA UN PÓRTICO PLANO DE SIETE NIVELES Y CUATRO VANOS APLICANDO EL MÉTODO DE KANI

por Solange Armijos

Fecha de entrega: 11-feb-2020 02:19p.m. (UTC-0500)

Identificador de la entrega: 1255628362

Nombre del archivo: turitin.docx (37.91K)

Total de palabras: 2674

Total de caracteres: 14096

CLÁUSULA DE CESIÓN DE DERECHO DE PUBLICACIÓN EN EL REPOSITORIO DIGITAL INSTITUCIONAL

La que suscribe, ARMIJOS JARAMILLO SOLANGE LISBETH, en calidad de autora del siguiente trabajo escrito titulado ANÁLISIS ESTRUCTURAL DE CARGAS GRAVITACIONALES PARA UN PÓRTICO PLANO DE SIETE NIVELES Y CUATRO VANOS APLICANDO EL MÉTODO DE KANI, otorga a la Universidad Técnica de Machala, de forma gratuita y no exclusiva, los derechos de reproducción, distribución y comunicación pública de la obra, que constituye un trabajo de autoría propia, sobre la cual tiene potestad para otorgar los derechos contenidos en esta licencia.

La autora declara que el contenido que se publicará es de carácter académico y se enmarca en las dispociones definidas por la Universidad Técnica de Machala.

Se autoriza a transformar la obra, únicamente cuando sea necesario, y a realizar las adaptaciones pertinentes para permitir su preservación, distribución y publicación en el Repositorio Digital Institucional de la Universidad Técnica de Machala.

La autora como garante de la autoría de la obra y en relación a la misma, declara que la universidad se encuentra libre de todo tipo de responsabilidad sobre el contenido de la obra y que asume la responsabilidad frente a cualquier reclamo o demanda por parte de terceros de manera exclusiva.

Aceptando esta licencia, se cede a la Universidad Técnica de Machala el derecho exclusivo de archivar, reproducir, convertir, comunicar y/o distribuir la obra mundialmente en formato electrónico y digital a través de su Repositorio Digital Institucional, siempre y cuando no se lo haga para obtener beneficio económico.

Machala, 20 de febrero de 2020

ARMIJOS JARAMILLO SOLANGE LISBETH
0704880400

ANÁLISIS ESTRUCTURAL DE CARGAS GRAVITACIONALES PARA UN PÓRTICO PLANO DE SIETE NIVELES Y CUATRO VANOS APLICANDO EL MÉTODO DE KANI

INFORME DE ORIGINALIDAD

0%
INDICE DE SIMILITUD

0%
FUENTES DE
INTERNET

0%
PUBLICACIONES

0%
TRABAJOS DEL
ESTUDIANTE

FUENTES PRIMARIAS

Excluir citas Apagado
Excluir bibliografía Apagado

Excluir coincidencias Apagado

DEDICATORIA

El trabajo que presento está dedicado a mis amados Padres que han sido un apoyo muy importante en todo mí desarrollo personal y en mi carrera Universitaria. A mi novio por ser una inspiración para mí, a esas amistades que estuvieron conmigo en buenos y malos momentos. A todos los docentes que han sido testigos del esfuerzo que he dado en esta prestigiosa Facultad de Ingeniería Civil de la Universidad Técnica de Machala, los cuales me han brindado conocimiento de calidad.

AGRADECIMIENTO

Agradezco primeramente a Dios aquel que siempre está presente en todo momento, me ha dado la fortaleza, sabiduría y salud para continuar con mis estudios.

A mis Padres que han sido un ejemplo a seguir para mí, un apoyo incondicional, por saberme guiar por el buen camino para lograr de esa manera obtener buenos valores y principios que mantengo en la actualidad, estoy muy agradecida con ellos por la educación que me brindaron todo su afecto y consideración.

A mi novio Darwin Solórzano, por sus palabras de apoyo, el respeto que tiene hacia mí y mis familiares, por compartir conmigo sus objetivos, alegrías y ese amor que me brinda a diario.

Aquellos compañeros y amigos que en el transcurso de la carrera de Ingeniería Civil compartimos momentos importantes para cumplir esta anhelada meta, un agradecimiento especial a mi amiga Karol Romero por su amistad sincera que ha compartido conmigo en estos años de desarrollo académico, es una persona en la cual puedo confiar.

Les agradezco muy afectuosamente a los docentes Ingeniero Pantoja Aguacondo David Eloy, Ordoñez Fernandez José Luis y Añazco Campoverde Gilbert Adrián mis tutores, por guiarme para poder culminar de manera correcta este presente trabajo con sus enseñanzas y correcciones en el transcurso de la elaboración del mismo, siendo muy respetuosos y pacientes.

RESUMEN

Para el pertinente proyecto que se enfoca en un pórtico plano de siete niveles, se establece mediante el método Kani, el análisis estructural de cargas gravitatorias. El cual tiene como requerimiento según la magnitud de la altura del pórtico, datos de gran relevancia para la veracidad oportuna de los cálculos que se obtendrán; como son: las dimensiones implementadas en el escenario de las vigas y columnas respectivamente, valores de las cargas vivas y muertas, nomenclaturas adecuadas en los nudos y elementos del pórtico, el sentido en que se realizaran las iteraciones; de esta manera se procede a solventar los procedimientos competentes, destacando cualidades de dicho método los cuales infieren en las aproximaciones sucesivas para oportunamente deducir los momentos del pórtico para las cargas indicadas, ajustado por medio de iteraciones.

Para el proceso adecuado del proyecto se indica en la esquematización lo necesario para evitar falencias como son formulaciones, procedimiento de las actividades potenciales a realizarse, las cuales dan una perspectiva correcta de la elaboración del método de Kani, de esa manera se debe cumplir con todos los pasos ordenadamente y se obtiene valores verificados ya que el método es muy factible para obtener de cada nudo resultados correctamente establecidos. Además como resultados tenemos los diagramas de momentos, fuerza cortante y axial.

Palabras claves: Método de Kani, Análisis Estructural, Cargas Gravitatorias, Pórtico Plano

ABSTRACT

For the relevant project that focuses on a seven-level flat porch, the structural analysis of gravitational loads is established using the Kani method. Which has as a requirement according to the magnitude of the height of the porch, data of great relevance for the timely veracity of the calculations that will be obtained; such as: the dimensions implemented in the scenario of the beams and columns respectively, values of the live and dead loads, proper nomenclatures in the nodes and elements of the porch, the direction in which the iterations will be carried out; in this way the competent procedures are solved, highlighting qualities of said method which infer in the successive approximations to timely deduct the portico moments for the indicated loads, adjusted by means of iterations.

For the adequate process of the project, the necessary schema is indicated in order to avoid shortcomings such as formulations, procedure of the potential activities to be carried out, which give a correct perspective of the elaboration of the Kani method, in that way everyone must be complied with the steps are ordered and verified values are obtained since the method is very feasible to obtain correctly established results from each node. Also as results we have the moment diagrams, shear and axial force.

Keywords: Kani Method, Structural Analysis, Gravitational Loads, Flat Gantry

ÍNDICE DE CONTENIDO

1	INTRODUCCIÓN.....	1
1.1	OBJETIVO GENERAL:.....	2
1.1.1	OBJETIVOS ESPECÍFICOS:	2
2	DESARROLLO	3
2.1	Método de Kani.....	5
2.2	Análisis estructural para pórticos planos	6
	METODOLOGÍA Y RESULTADOS	6
2.3	Proceso para resolver el método de Kani	6
2.3.1	Inercia	7
2.3.2	Rigidez.....	7
2.3.3	Factor de distribución	8
2.3.4	Momento de empotramiento	9
2.3.5	Iteraciones	9
2.4.6	Momentos finales	11
3	CONCLUSIONES.....	12
4	RECOMENDACIONES	13
	BIBLIOGRAFÍA.....	14

LISTA DE GRAFICAS

Figura 1	Vista en planta pórtico eje 3.....	3
Figura 2	Vista frontal del pórtico eje 3.....	4
Figura 3	Estado 1: Carga muerta pórtico eje 3	4
Figura 4	Estado 2: Carga viva pórtico eje 3.....	5
Figura 5	Diagrama de Iteraciones para el Nudo 1 Carga Muerta.....	10

LISTA DE TABLAS

Tabla 1 Cálculo de Momento de Inercia y Rigidez del Primer nivel	7
Tabla 2 Factor de distribución Primer nivel del Pórtico	8
Tabla 3 Proceso de cálculo de Momentos Empotrados de Carga Muerta del 1er Nivel del Pórtico	9
Tabla 4 Cálculos Para la Iteración de momentos de Carga Muerta, Nudo 1 y 2	10
Tabla 5 Momentos finales: Carga Viva y Muerta para Nudos 1 y 2	11

LISTA DE ANEXOS

Anexo A Diagrama de Momentos en Vigas y Columnas Carga Viva, Pórtico Eje 3.....	16
Anexo B Diagrama de Momentos en Vigas y Columnas Carga Muerta, Pórtico Eje 3.	17
Anexo C Diagrama de Cortantes en Vigas y Columnas Carga Viva, Pórtico Eje 3.....	18
Anexo D Diagrama de Cortantes en Vigas y Columnas Carga Muerta, Pórtico Eje 3..	19
Anexo E Diagrama de Fuerza Axial, Carga Viva, Pórtico Eje 3	20
Anexo F Diagrama de Fuerza Axial, Carga Muerta, Pórtico Eje 3	21
Anexo G Momentos de Empotramiento para Carga Muerta	22
Anexo H Momentos de Empotramiento para Carga Viva.....	23
Anexo I Diagrama de Iteraciones del Pórtico Eje 3, Carga Viva	24
Anexo J Iteración de Momentos, 1er y 2do Ciclo, Carga Viva	26
Anexo K Momentos Finales para Pórtico Eje 3, Carga Viva	28
Anexo L Cálculos para Diagrama del Cortante de las Columnas "V", Carga Viva	30
Anexo M Cálculos para Diagrama del Cortante de las Vigas "ri" y "rj" - Calculo de Momento Máximo "Mmax", Carga Viva.....	31
Anexo N Puntos de Inflexión de Momentos para carga triangular "x1" y "x2", Carga Viva	32
Anexo O Diagrama de Iteraciones del Pórtico Eje 3, Carga Muerta	33
Anexo P Iteración de Momentos, 1er y 2do Ciclo, Carga Muerta	35
Anexo Q Momentos Finales para Pórtico Eje 3, Carga Muerta.....	37
Anexo R Cálculos para Diagrama del Cortante de las Columnas "V", Carga Muerta ..	39
Anexo S Cálculos para Diagrama del Cortante de las Vigas "ri" y "rj" - Calculo de Momento Máximo "Mmax", Carga Muerta	40
Anexo T Puntos de Inflexión de Momentos para carga triangular "x1" y "x2", Carga Muerta	41

1 INTRODUCCIÓN

La tecnología ha causado gran impacto hoy en día con sus programas modernos sobre el análisis estructural, donde todos los procesos para obtener resultados en edificaciones por resistencia o desplazamientos, son simplificados determinando de manera más precisa y rápida comportamientos en escenarios sísmicos, cumpliendo con la normativa de nuestro país, en gran parte en programas actuales que realizan estos cálculos. [1]

Cuando una estructura enfocada a un sismo severo sobrelleva deterioros de gran impacto, como ingenieros Civiles debemos tener una visión de cómo se podría evitar la vulnerabilidad en la estructura antes de que estos fenómenos naturales ocurran, o imaginarnos que problemáticas atraería estos desastres a las edificaciones por construirse, por ello es de gran importancia estudiar la norma ecuatoriana de la construcción sismo resistente y los métodos potenciales para el análisis estructural.

Considerando que los eventos sísmicos se dan por corromper los límites de movimientos que resiste una estructura, se estudia los métodos que ayuden al desempeño de la misma para controlar el daño estructural que pueda ocasionar tales efectos. [2] Estos eventos sísmicos naturales se vienen dando desde siempre, se debe tener precaución debido a las fallas tectónicas y los distintos comunicados sobre los sismos anteriores en el país, por este motivo se realiza la debida prevención que oportunamente ayuden a la población del País a mantener sus estructuras y evitar posibles pérdidas humanas. [3]

El método de Kani el cual se presenta en este proyecto es conocido por ponderar el análisis estructural manualmente verificando resultados enfocado en iteraciones que en lo particular obedecen a los desplazamientos de la estructura, permitiendo indagar en detalles de cálculos para un aprendizaje de gran índole estructural. [4]

En los pórticos con niveles altos, es oportuno conocer los resultados estructurales, en cada nudo que permite la unión de vigas y columnas; debido a su altura es de gran relevancia comparar las condiciones que se intensifica al realizar los estudios mediante las cargas vivas y muertas que se otorgan para la elaboración del proyecto, y de esta manera el pórtico pueda tolerar sismos severos. [5]

Para deducir un procedimiento que dé solución al problema, además del empleo fundamental del método de Kani, se debe contrastar mediante un software que permita ingresar como se conforma cada elemento del pórtico y sus respectivas cargas gravitacionales en los niveles de la estructura. [6]

El proyecto que se presenta en primera instancia consiste en aplicar el método de Kani para un pórtico plano el cual está sometido a las cargas antes mencionadas con la finalidad de obtener los momentos finales, se detalla mediante la esquematización el procedimiento que se emplea y proceder a realizar los diagramas de momentos, cortantes y axiales.

1.1 OBJETIVO GENERAL:

Verificar el desempeño del método de Kani para el análisis estructural del pórtico plano de siete niveles con cuatro vanos. Además, se precisa obtener los momentos finales por medio del método mencionado, consideradas por cargas gravitacionales tales como vivas y muertas.

1.1.1 OBJETIVOS ESPECÍFICOS:

- Calcular los factores de giro en todo el Pórtico plano y verificar sus resultados,
- Determinar los momentos de empotramientos basados en el método de Kani.
- Realizar las iteraciones pertinentes de manera correcta verificando que los datos ingresados sean los adecuados para el desarrollo del análisis estructural.

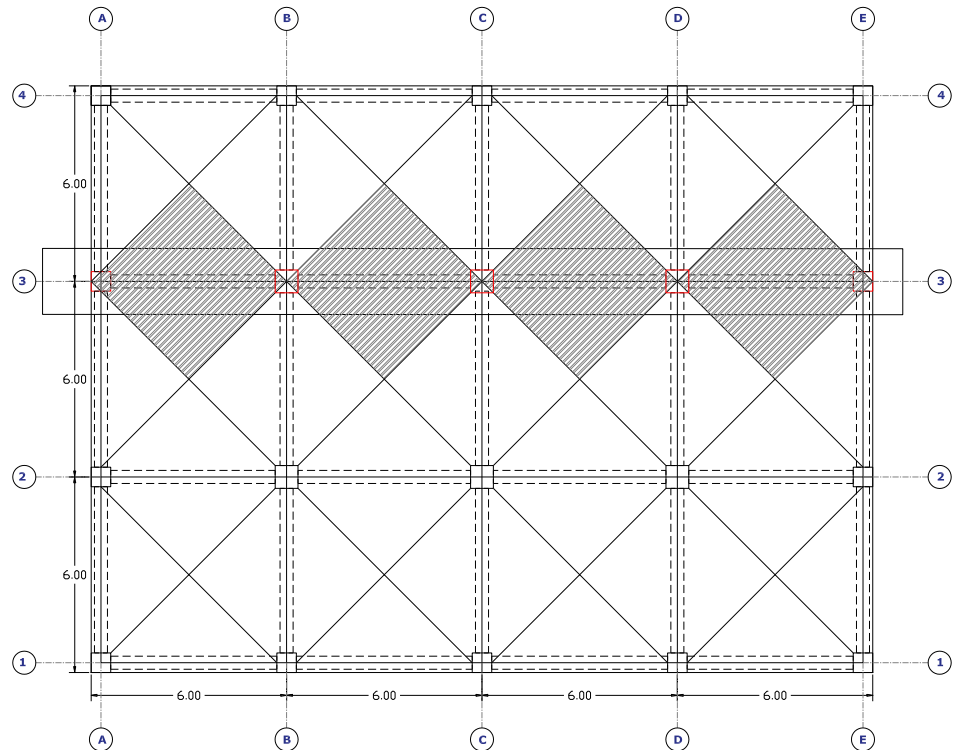
2 DESARROLLO

En términos exclusivos de Ingenieros para realizar una revisión de los pesos que soportan cada nivel de los pórticos es necesario seguir un proceso donde se especifiquen los cálculos de rigidez y resistencia estableciendo medidas correctas de concreto para cada uno de los elementos estructurales que comprenden al Pórtico. [2]

Para los pórticos planos es elemental que en la parte interior de cada nudo las conexiones se mantengan rígidas empleando un orden que sea favorable para soportar las fuerzas en cualquier sentido influenciándose en la estabilidad de la estructura y que aporten en cada nivel movimientos ante posibles sismos. [7]

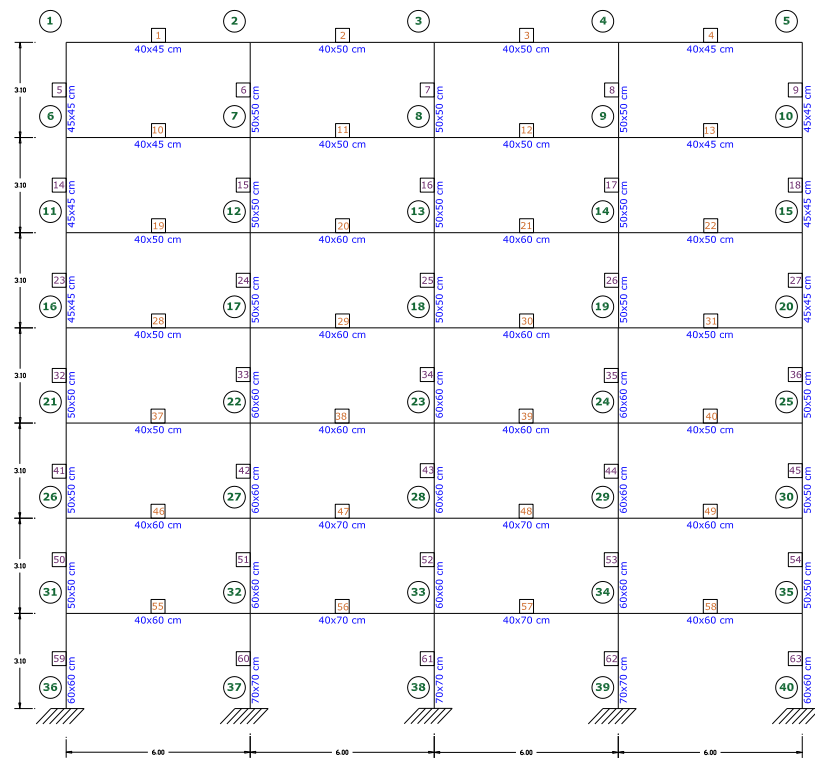
Para el avance del proyecto se despliega en los siguientes ítems los conceptos básicos para de esta manera optimizar resultados correctos empleando el método de Kani en el pórtico plano con nudos sin desplazamientos que ha sido establecido, el cual consta de siete niveles y cuatro vanos con sus respectivas cargas gravitacionales figura 3 - 4, medidas de los vanos y las alturas de cada nivel, dimensiones de vigas y columnas figura 2, también se presenta la vista en planta del pórtico con sus respectivas medidas que comprenden la estructura figura 1.

Figura 1 Vista en planta pórtico eje 3



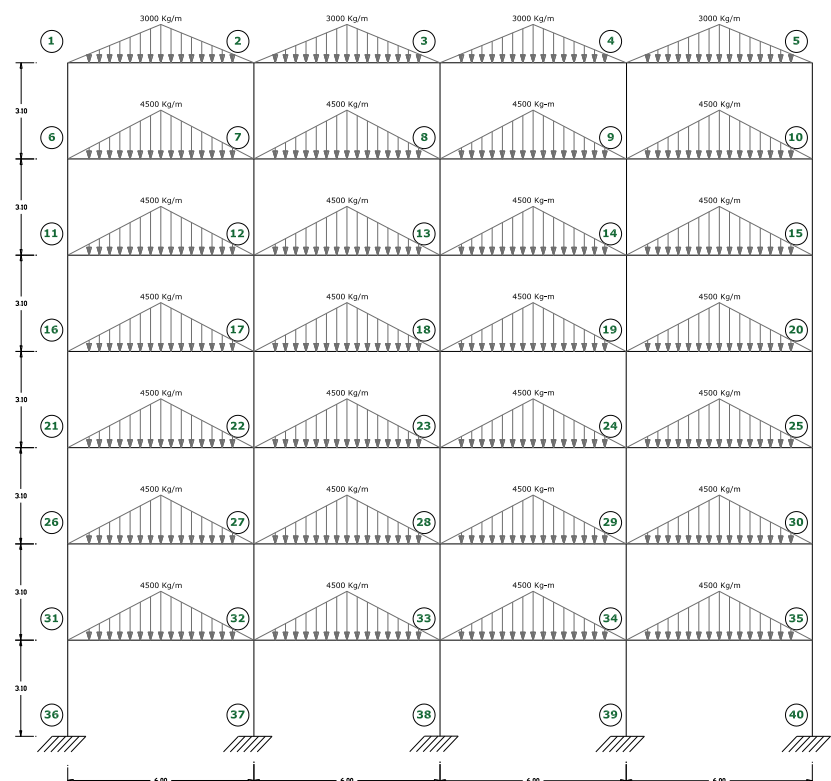
Fuente: Autor

Figura 2 Vista frontal del pórtico eje 3



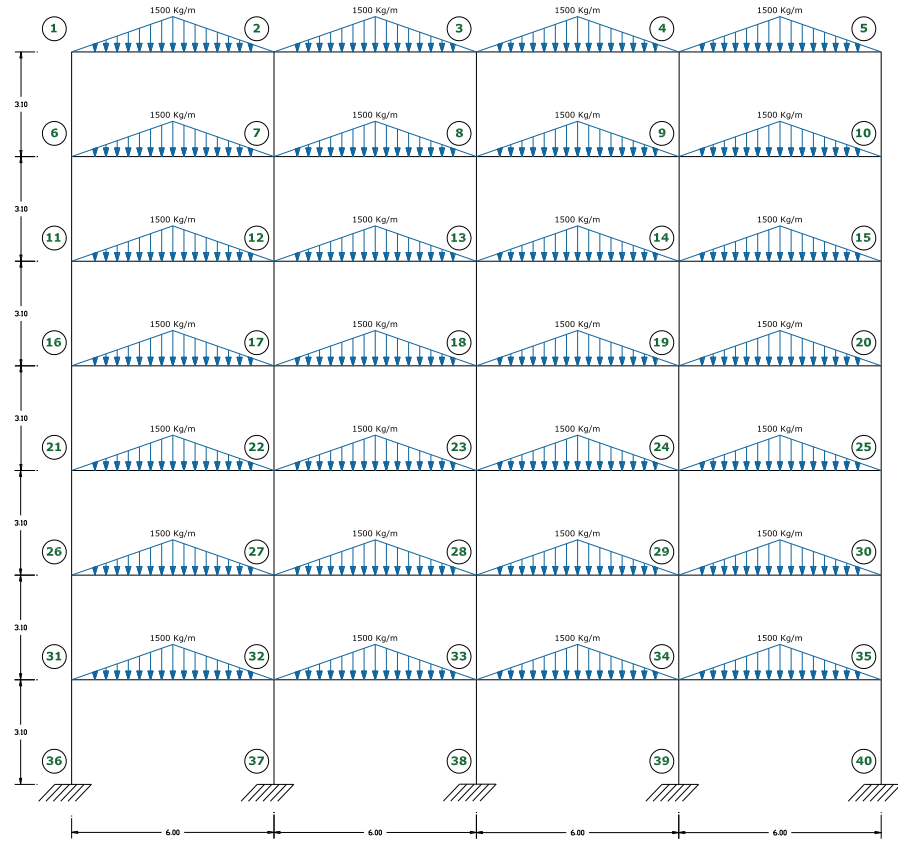
Fuente: Autor

Figura 3 Estado 1: Carga muerta pórtico eje 3



Fuente: Autor

Figura 4 Estado 2: Carga viva pórtico eje 3



Fuente: Autor

2.1 Método de Kani

A finales del siglo XIX existían métodos con una complejidad donde su desarrollo era muy extenso a pesar de que se destacaban los cálculos matemáticos, impedían avanzar rápidamente con la elaboración de otras estructuras, ocasionando dificultades en esa época. Es por ello que en conjunto, Ingenieros plantearon métodos que aminoraran el exceso de cálculos que se ejecutaban promoviendo cálculos simplificados, es así como se planteó junto a otros métodos de gran relevancia el método de Kani con el inconveniente que no es aplicable para todas las tipos estructuras. [8]

Es un proceso de iteración sucesivo por naturaleza muy conocido como el método que permite obtener momentos finales fijos mediante los nudos, las rotaciones de las articulaciones y los elementos que componen la estructura, siendo un método que permite precisión en sus resultados para lograrlo se requiere que al realizarse las iteraciones en más de la mitad de los nudos existan cantidades iguales. [9] Este método se utiliza principalmente en las estructuras con pórticos planos hiperestáticos.

2.2 Análisis estructural para pórticos planos

El análisis estructural permite realizar estudios de manera organizada a todos los elementos que conforma la estructura, implicando diversos sistemas, englobando como principal apoyo a la mecánica para lograr realizar las debidas formulaciones que establezcan el equilibrio de la estructura, considerando desde el punto de vista matemático las ecuaciones diferenciales. [10]

Lo que se pretende alcanzar con el análisis estructural son valores que optimicen el equilibrio de la estructura, tales como sus reacciones en cada apoyo, desplazamientos, las fuerzas relevantes que permiten un diseño apropiado como son las axiales, cortantes y los factibles momentos flexionantes. [11]

El proyecto comprende un pórtico plano sin desplazamientos simétrico, de siete niveles con cuatro vanos donde se conocen las dimensiones de las vigas y columnas que infieren de gran manera en los cálculos para realizar el análisis estructural además se aprecian las cargas vivas y muertas que componen al pórtico lo cual favorece la funcionalidad y utilizar el método de Kani, en el cual está orientado el análisis estructural.

METODOLOGÍA Y RESULTADOS

Para comprender como se logran efectuar los resultados del análisis estructural del pórtico de siete niveles mediante el empleo del método de Kani es fundamental seguir la siguiente esquematización de procesos competentes que se realizaron para obtener datos garantizados de momentos finales de los estados de carga viva y muerta.

2.3 Proceso para resolver el método de Kani

El pórtico plano propuesto al ser simétrico, el cálculo del método de Kani será empleado según el caso de estructuras sin desplazamiento, es importante conocer que representa la simbología y las ecuaciones a la cual se rige, a continuación presento sus respectivos significados.

M_{ik} = Momento flector en el extremo i de la barra i-k

\overline{M}_{ik} = Momento de empotramiento perfecto en el extremo i producido por las cargas exteriores

- \overline{M}_t = Momento de sujeción
 M'_{ik} = Momento en extremo i debido al giro del mismo
 M'_{ki} = Momento en extremo i debido al giro del extremo K. [12]

2.3.1 Inercia

Mediante la organización de cada nivel del pórtico con sus respectivos nudos y numeración de vigas y columnas, utilizando la fórmula de momento de inercia de cada sección la cual consta de la base (b) y la altura (h) de cada elemento del pórtico se procedió hacer el cálculo de las Inercias. Ver Tabla 1

Ecuación 1 Inercia de sección

$$I = \frac{b * h^3}{12}$$

2.3.2 Rigidez

Para calcular la Rigidez en vigas y columnas, debido a que el pórtico tiene apoyos empotados se requiere el uso de la fórmula de la ecuación 2, luego de obtener la inercia y conocer las longitudes de cada vano en el pórtico. La fórmula está compuesta por la inercia (I) dividido para la longitud de los vanos (L). Para una mayor facilidad al hacer los cálculos procedí a ubicar las vigas y columnas con iguales dimensiones en cada nivel, por tablas separadas. Ver tabla 1

Ecuación 2 Rigidez para apoyos empotrados

$$K = \frac{I}{L}$$

Tabla 1 Cálculo de Momento de Inercia y Rigidez del Primer nivel

VIGAS							
NIVELES	NUDOS	VIGA	b (m)	h (m)	Longitud (m)	Inercia (m4)	Rigidez
Primero	31-32 = 34-35	55 = 58	0,40	0,60	6,00	0,00720000	$K_{31-32} = K_{34-35} = 0,00120000$
	32-33 = 33-34	56 = 57	0,40	0,70	6,00	0,01143333	$K_{32-33} = K_{33-34} = 0,00190556$

Fuente: Autor

2.3.3 Factor de distribución

Se realiza en todos los nudos del pórtico considerando los resultados de rigideces de columnas y vigas que se obtuvieron, específicamente los que se encuentran ubicados a los extremos en la parte superior e inferior de cada nudo que conforman la estructura, la fórmula que se ilustra nos da como resultado el factor de distribución conociendo que la rigidez se representa con la k. Ver Tabla 2

Ecuación 3 Factor de distribución o de giro

$$\beta = -\frac{1}{2} * \frac{k}{\sum k}$$

Tabla 2 Factor de distribución Primer nivel del Pórtico

NUDO 1 = NUDO 5		
$\sum k = K_{1-2} + K_{1-6} =$	0,00160857	
$\beta_{1-2} =$	-0,157360406	
$\beta_{1-6} =$	-0,342639594	
Sumatoria =	-0,5	Comprobado
NUDO 2 = NUDO 4		
$\sum k = K_{2-7} + K_{2-1} + K_{2-3} =$	0,00288080	
$\beta = -\frac{1}{2} * \frac{k}{\sum k}$	$\beta_{2-7} = -0,291604134$	
	$\beta_{2-1} = -0,087866158$	
	$\beta_{2-3} = -0,120529709$	
Sumatoria =	-0,5	Comprobado
NUDO 3		
$\sum k = K_{3-8} + K_{3-2} + K_{3-4} =$	0,00306900	
	$\beta_{3-8} = -0,273722628$	
	$\beta_{3-2} = -0,113138686$	
	$\beta_{3-4} = -0,113138686$	
Sumatoria =	-0,5	Comprobado

Fuente: Autor

2.3.4 Momento de empotramiento

Para obtener estos resultados inicialmente se procedió a separar en dos partes: Primero para el estado de la carga muerta y segundo para el estado de la carga viva, ya que en los dos casos se realiza el estudio de los momentos de empotramiento que tendrá los nudos de cada barra del pórtico plano, teniendo como datos valores de carga viva la cual será la misma en todo los niveles y la muerta que será la misma en todos los niveles excepto en la cubierta, como el pórtico es simétrico las cargas distribuidas son triangulares. Ver Anexo G - H

Momento de empotramiento perfecto izquierdo

Ecuación 4

$$M_{trian} = -\frac{5 * W * L^2}{96}$$

Momento de empotramiento perfecto derecho

Ecuación 5

$$M_{trian} = \frac{5 * W * L^2}{96}$$

Tabla 3 Proceso de cálculo de Momentos Empotrados de Carga Muerta del 1er Nivel del Pórtico

CARGA MUERTA									
NIVELES	VIGA	NUDOS	Longitud (m)	Altura entrepiso (m)	Ala colaborante(m)	Carga Muerta(kg/m ²)	Carga Distribuada (kg-m) $C_{dist} = Ala\ colaborante * CM$	Momentos Empotrados(kg-m)	
								Izquierda $M_{trian} = -\frac{5 * W * L^2}{96}$	Derecha $M_{trian} = \frac{5 * W * L^2}{96}$
Primero	55 58 56 57	31-32 = 34-35 32-33 = 33-34	6	3,1	6	750	4500	-8437,5	8437,5
								-8437,5	8437,5

Fuente: Autor

2.3.5 Iteraciones

Mientras más iteraciones se realicen el resultado será más exacto para el pórtico plano y sus dos estados de cargas viva y muerta realicé 10 ciclos de iteraciones, para lograrlo emplee el siguiente procedimiento:

Se procede a realizar para los estados de cargas propuestos que son viva y muerta las iteraciones. Primero ubique los valores de Momento de empotramiento perfecto \overline{M}_{lk} y los valores del factor de distribución β de cada nudo como se indica en la figura 5, para comenzar con las iteraciones debido a que al inicio no existe Momento en extremo debido al giro del mismo M'_{ki} empezamos con cero en cada componente del nudo.

Con la ecuación 6 se calcula el Momento en extremo i debido al giro del mismo M'_{ki} , este proceso debe realizarse para todos los elementos que rodean al nodo. Para obtener el valor de \bar{M}_i que es el momento de sujeción de cada nudo se suman los \bar{M}_{ik} momentos de empotramiento de cada nudo, es importante que se consideren los signos para esta operación. Realizamos las iteraciones necesarias hasta que los resultados sean iguales. Para carga viva Ver Anexo I – O. Para carga Muerta Ver Anexo J – P

Ecuación 6

$$M'_{ik} = \beta(\bar{M}_i + \sum M'_{ki})$$

Figura 5 Diagrama de Iteraciones para el Nudo 1 Carga Muerta

β	\bar{M}_{ik}	\bar{M}_{ik}	
-5625,000	-5625,000	5625,000	0,
-0,343	0,000	0,000	-0,
1	885,152	-169,349	0,
	703,519	-63,481	0,
	717,379	-61,662	2
	712,486	-59,358	
	712,581	-59,586	
M'_{ik}	712,485	-59,429	
	712,442	-59,426	
	712,440	-59,418	
	712,438	-59,418	-36,204
M'_{ki}	712,438	-59,418	-36,204
		-59,418	-36,204
		-36,204	-36,206
		-36,206	-36,170
		-36,170	-36,117
		-36,117	-35,462
		-35,462	-35,124
		-35,124	-26,989
		-26,989	-7,330
		-7,330	0,000
		0,000	0,
		0,000	0,
		0,000	0,
		0,000	0,
		0,000	0,
		0,000	0,
		0,000	0,
M'_{ki}	-0,203	-8437,500	-8437,500
	-8437,500	0,000	0,000
	0,093	607,876	-3,030
6	0,000	518,803	-11,155
			0,066
			0,
			0,
			7

Fuente: Autor

Tabla 4 Cálculos Para la Iteración de momentos de Carga Muerta, Nudo 1 y 2

ITERACIÓN DE MOMENTOS (CARGA MUERTA)							$M'ik = \beta(\bar{M}_i + \sum M'ki)$		
NUDO				β	*(\bar{M}_i	+	$\sum M'ki)$	TOTAL
1	1-2	VIGA	M'ik=	-0,157	*(-5625,000	+	0,000 0,000	885,152
	1-6	COLUMNA	M'ik=	-0,343	*(-5625,000	+	0,000 0,000	1927,348
	2-7	COLUMNA	M'ik=	-0,292	*(0,000	+	0,000 1927,348 0,000	-562,023
2	2-1	VIGA	M'ik=	-0,088	*(0,000	+	0,000 1927,348 0,000	-169,349
	2-3	VIGA	M'ik=	-0,121	*(0,000	+	0,000 1927,348 0,000	-232,303
2DO CICLO									
NUDO				β	*(\bar{M}_i	+	$\sum M'ki)$	TOTAL
1	1-2	VIGA	M'ik=	-0,157	*(-5625,000	+	-169,349 1323,600	703,519
	1-6	COLUMNA	M'ik=	-0,343	*(-5625,000	+	-169,349 1323,600	1531,855
2	2-7	COLUMNA	M'ik=	-0,292	*(0,000	+	-7,330 703,519 26,282	-210,675
	2-1	VIGA	M'ik=	-0,088	*(0,000	+	-7,330 703,519 26,282	-63,481
	2-3	VIGA	M'ik=	-0,121	*(0,000	+	-7,330 703,519 26,282	-87,079

Fuente: Autor

2.4.6 Momentos finales

Teniendo los resultados de las iteraciones se obtiene los momentos finales para cada extremo de vigas y columnas resolviendo la ecuación 7 y se comprueba que los valores sean correctos al realizar el equilibrio de las juntas que consiste en sumar los momentos y en cada nudo con un resultado de 0 para definir que los momentos cierran y los valores son correctos. En la figura 11 se ilustra el proceso de cálculos que se estableció. Para carga muerta y viva Ver Anexo K – Q

Ecuación 7

$$M_{ik} = \bar{M}_{ik} + 2 * M'_{ik} + M'_{ki} + M''_{ik}$$

Tabla 5 Momentos finales: Carga Viva y Muerta para Nudos 1 y 2

MOMENTOS FINALES (CARGA MUERTA)										Momentos finales					
NUDO					\bar{M}_{ik}	+	2	*	M'_{ik}	+	M'_{ki}	+	M''_{ik}	TOTAL (kg-m)	Cierre de momentos equilibrio
1	1-2	VIGA	Mik=	-5625,000	+ 2,000	*	712,438	+	-59,418	+	0,000		-4259,542	0,000	
	1-6	COLUMNNA	Mik=	0,000	+ 2,000	*	1551,277	+	1156,989	+	0,000		4259,542		
2	2-7	COLUMNNA	Mik=	0,000	+ 2,000	*	-197,193	+	-36,204	+	0,000		-430,590	0,000	
	2-1	VIGA	Mik=	5625,000	+ 2,000	*	-59,418	+	712,438	+	0,000		6218,602		
	2-3	VIGA	Mik=	-5625,000	+ 2,000	*	-81,506	+	0,000	+	0,000		-5788,013		
MOMENTOS FINALES COLUMNAS (CARGA VIVA)										Momentos finales					
NUDO					\bar{M}_{ik}	+	2	*	M'_{ik}	+	M'_{ki}	+	M''_{ik}	TOTAL (kg-m)	Cierre de momentos equilibrio
1	1-2	VIGA	Mik=	-2812,500	+ 2,000	*	399,402	+	-35,302	+	0,000		-2048,997	0,000	
	1-6	COLUMNNA	Mik=	0,000	+ 2,000	*	869,666	+	309,666	+	0,000		2048,998		
2	2-7	COLUMNNA	Mik=	0,000	+ 2,000	*	-117,157	+	2,366	+	0,000		-231,949	0,000	
	2-1	VIGA	Mik=	2812,500	+ 2,000	*	-35,302	+	399,402	+	0,000		3141,298		
	2-3	VIGA	Mik=	-2812,500	+ 2,000	*	-48,425	+	0,000	+	0,000		-2909,350		

Fuente: Autor

3 CONCLUSIONES

- Al culminar el proyecto utilizando el método de Kani para un pórtico de siete niveles y cuatro vanos, sin desplazamientos en los nudos y simétrico, se verificó los resultados obtenidos de los momentos finales mediante un software comercial estructural dando un resultado de comparación del 0,002 %. También se verificó sumando los momentos en cada nudo del pórtico obteniendo un valor fijo de cero.
- Mediante la elaboración del presente trabajo se estableció las dimensiones de vigas y columnas; separación entre vanos y niveles del pórtico dado, se comprobó que los resultados totales de los factores de distribución o de giro al sumarlos en cada nudo daban un total de -0,5 lo cual permitió seguir avanzando con el proceso de solución del método de Kani.
- Se realizaron dos análisis uno del estado de carga viva y el otro del estado de carga muerta referenciadas en cada nivel del pórtico, además de contar con la planta del mismo; desde la carga distribuida adicionadas como triangulares, se procedió a calcular los momentos de empotramiento, siguiendo el procedimiento idóneo que dispone el método de Kani se validaron los resultados de los cálculos realizados que definieron la estructura.
- Para obtener las iteraciones para las cargas vivas y muertas de cada nivel se realizó de una manera muy cautelosa las operaciones que exige el método de Kani, logrando de esta manera que el proceso sea competente para la obtención de un resultado correcto de momentos finales y así proceder a realizar los diagramas de cortante, momento y axial.

4 RECOMENDACIONES

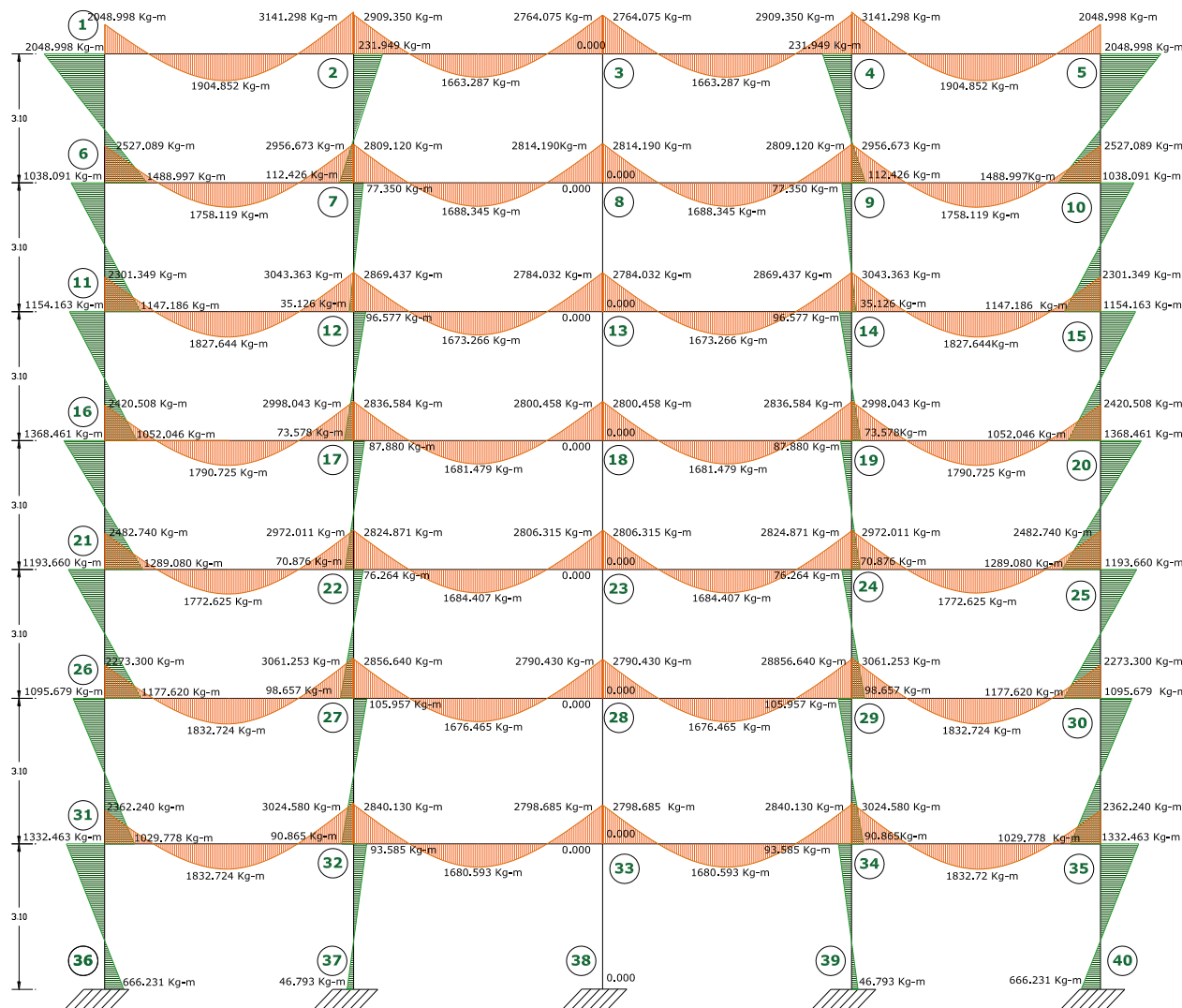
- En el pórtico plano que se presenta al utilizar el método de Kani es importante incluir cargas laterales, debido a que se debe realizar un estudio para conocer cómo se comporta la estructura y de esa forma elaborar un análisis estructural que pueda soportar posibles sismos además de mejorar el empleo de teorías estructurales.
- Comprender como funciona en el proceso de cálculos para el método de Kani el factor de corrimiento, los momentos de piso y las iteraciones a realizarse cuando se presentan cargas laterales, los métodos necesarios para obtenerlas y la función que tienen para el método de Kani.
- Conocer como la estructura reacciona ante nudos desplazables mediante el método de Kani, cuando se presenta alturas de distintas medidas el proceso a realizarse en estos casos sin cargas laterales.

BIBLIOGRAFÍA

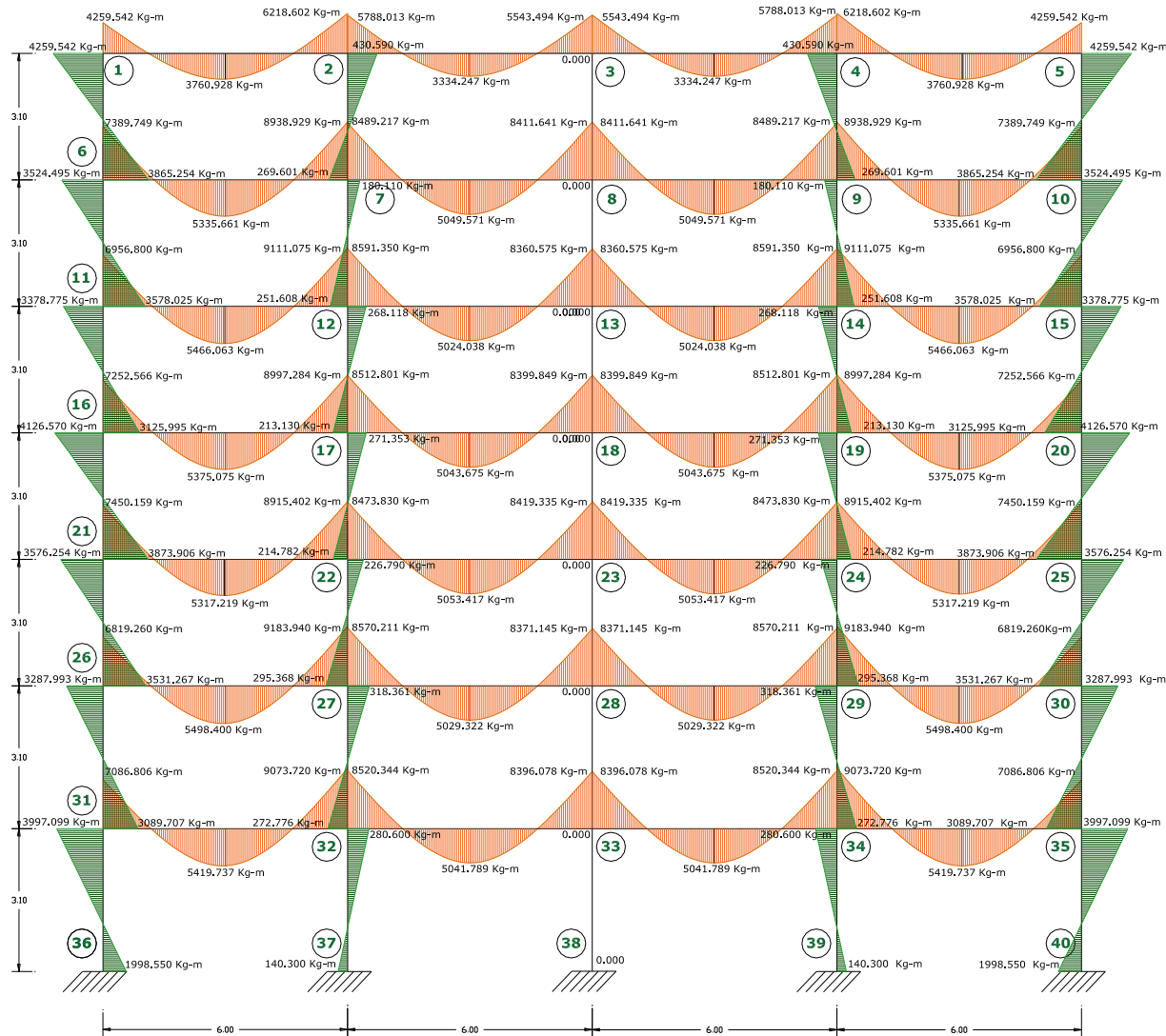
- [1] Vielma Pérez, Juan Carlos; Mendoza, Eurimar, «Respuesta sísmica de pórticos de acero con diagonales concéntricas tipo V invertida diseñados conforme a las normas venezolanas,» *INGENIERÍA UC*, vol. 18, nº 1, pp. 88-98, 2011.
- [2] A. T. Gilmore, «EL FUTURO DEL DISEÑO SISMORRESISTENTE DE LAS EDIFICACIONES DE CONCRETO REFORZADO: UNA VISIÓN BASADA EN LA SUSTENTABILIDAD,» *Concreto y cemento. Investigación y desarrollo*, vol. 2, nº 1, pp. 2-16, 2010.
- [3] Fidel A. Lora-Alonso, Eduardo Rafael Álvarez-Deulofeu, Universidad de Oriente. Santiago de Cuba., «DISEÑO ESTRUCTURAL SISMORRESISTENTE DE EDIFICIOS DE VIVIENDAS,» *Ciencia en su PC*, vol. 1, nº 4, pp. 68-83, 2018.
- [4] A. G. Lacort, «Análisis Manual Aproximado y Exacto de Pórticos,» *Información tecnológica*, vol. 22(2), nº 107-120, pp. 2-14, 2010.
- [5] Martínez Cid, Janet Otmara; Álvarez López, Julia Rosa; Fundora Sautié, Nelson, «Uniones viga-columna continuas de hormigón armado,» *Arquitectura y Urbanismo*, vol. XXXVI, nº 3, pp. 93-103, 2015.
- [6] Nereyda Pupo Sintras, Carlos A. Recarey Morfa, «Evaluación del efecto flexotorsor en edificios altos con la utilización,» *Revista Ingeniería de Construcción*, vol. 25, nº 1, pp. 95-120, 2010.
- [7] Lara, M. Lenin; Aguirre, Hernan; Gallegos, Marco, «Estructuras Aporticadas de Hormigón Armado que Colapsaron en el Terremoto del 16 de Abril de 2016 en Tabuga– Ecuador,» *Revista Politécnica*, vol. 42, nº 1, pp. 1-10, 2018.
- [8] S. A. Paico Gasco, «El “método matricial” en la enseñanza del análisis estructural: ¡una realidad!,» *UCV-HACER. Revista de Investigación y*, vol. 2, nº 1, pp. 151-160, 2013.
- [9] Dr. P. Gopalsamy, S. Govindhan, «Comparative Study of End Moments Regarding Application of Rotation,» *International Journal of Advanced Engineering Research and Technology*, vol. 4, nº 4, pp. 118-122, 2016.

- [10] A. Luévanos Rojas, «Método de aproximaciones sucesivas para vigas estáticamente indeterminadas incluyendo una nueva variable,» *Revista de Arquitectura e Ingeniería*, vol. 7, nº 1, pp. 1-14, 2013.
- [11] Alberto González Peña, Carlos Alberto Hoyos Castellanos, Damián Andrade Sánchez, «COMPARATIVA DEL ANÁLISIS ESTRUCTURAL REALIZADO CON SOFTWARE STAAD Y CON MÉTODOS MANUALES TRADICIONALES,» *Revista de Investigación en Tecnologías de la Información*, vol. 5, nº 10, pp. 138-143, 2017.
- [12] D. I. G. KANI, Cálculo de porticos de varios pisos, Barcelona - Buenos Aires - Mexico: REVERTE, S . A., 1958.

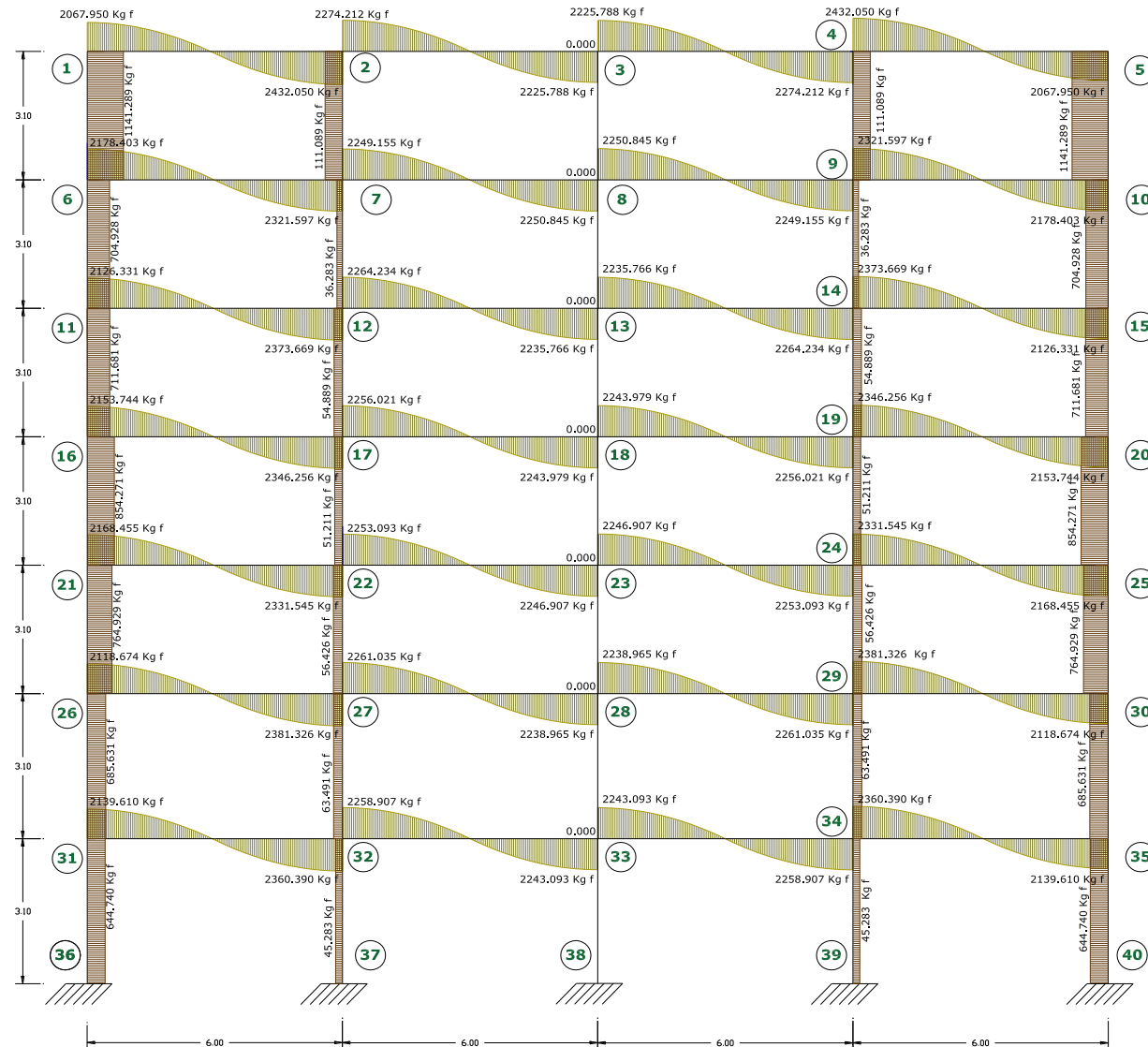
Anexo A Diagrama de Momentos en Vigas y Columnas Carga Viva, Pórtico Eje 3



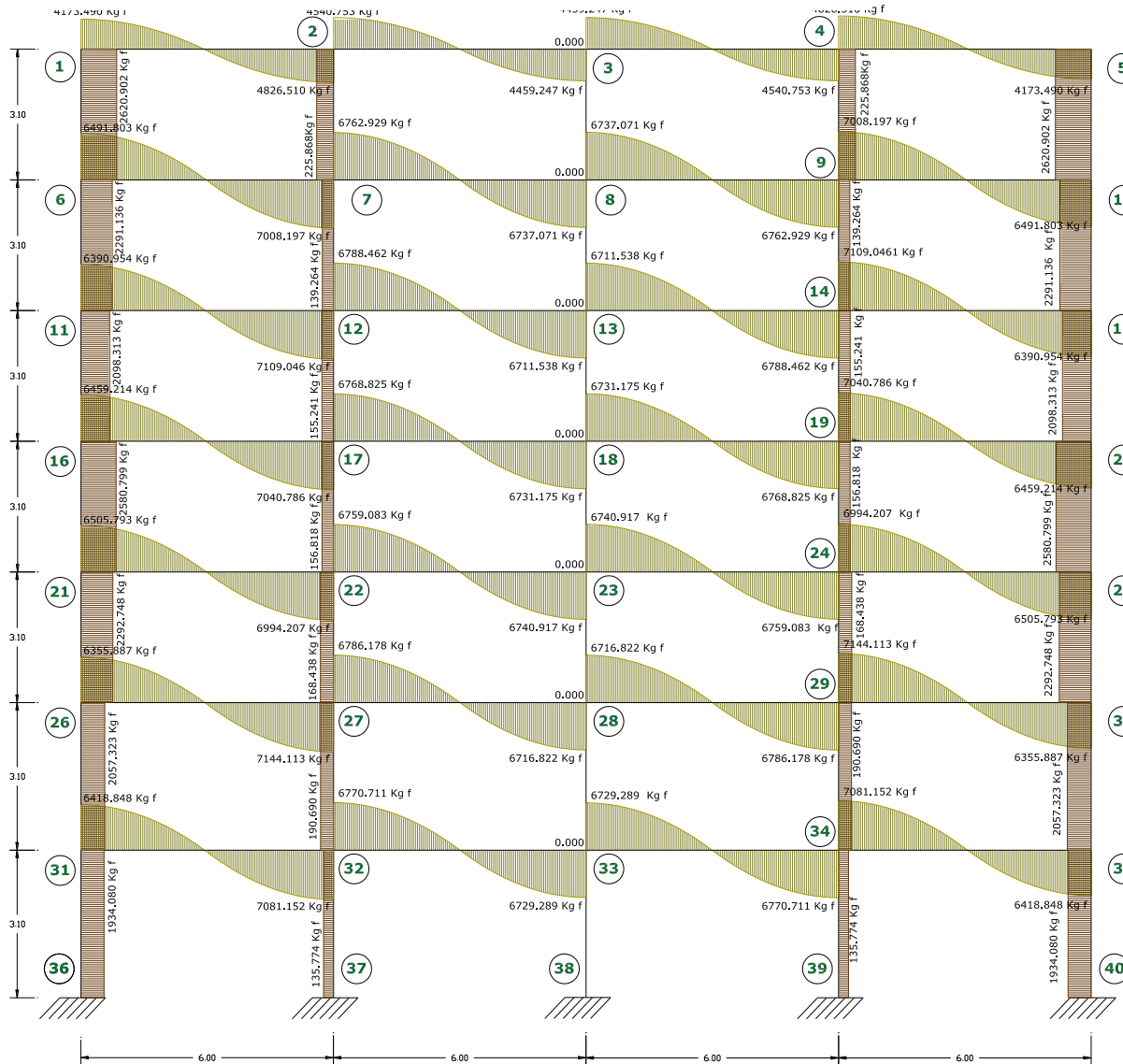
Anexo B Diagrama de Momentos en Vigas y Columnas Carga Muerta, Pórtico Eje 3



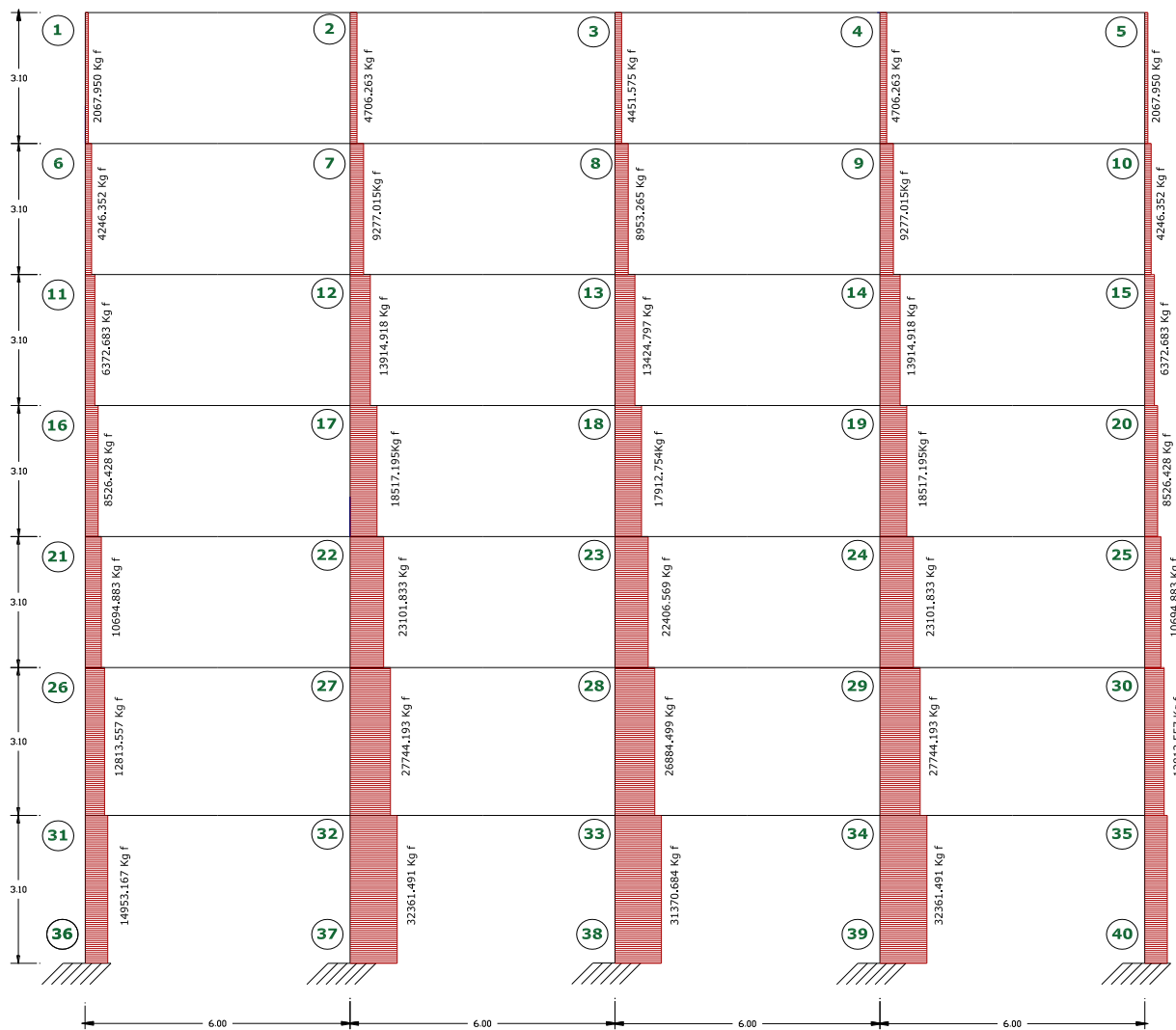
Anexo C Diagrama de Cortantes en Vigas y Columnas Carga Viva, Pórtico Eje 3



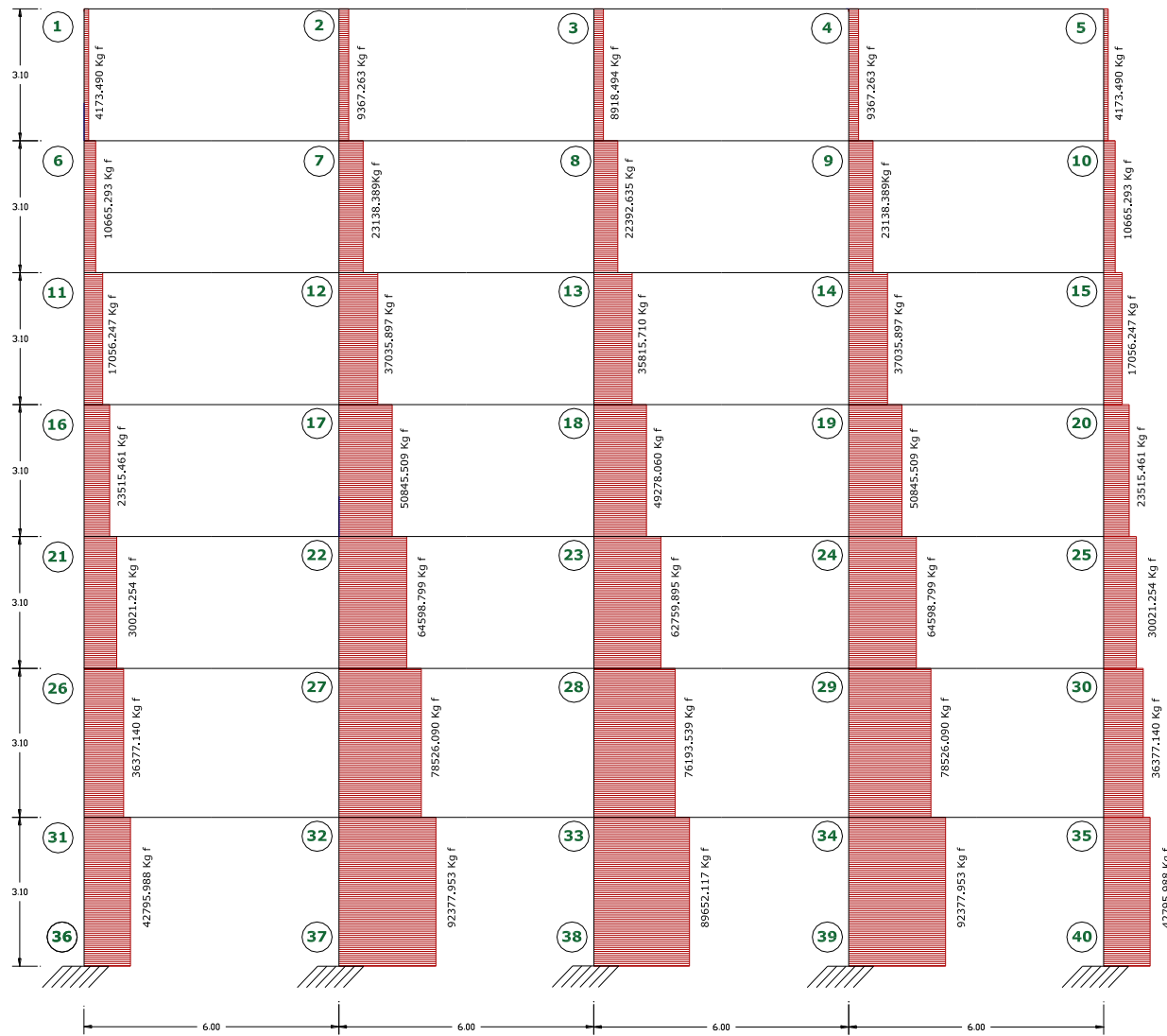
Anexo D Diagrama de Cortantes en Vigas y Columnas Carga Muerta, Pórtico Eje 3



Anexo E Diagrama de Fuerza Axial, Carga Viva, Pórtico Eje 3



Anexo F Diagrama de Fuerza Axial, Carga Muerta, Pórtico Eje 3



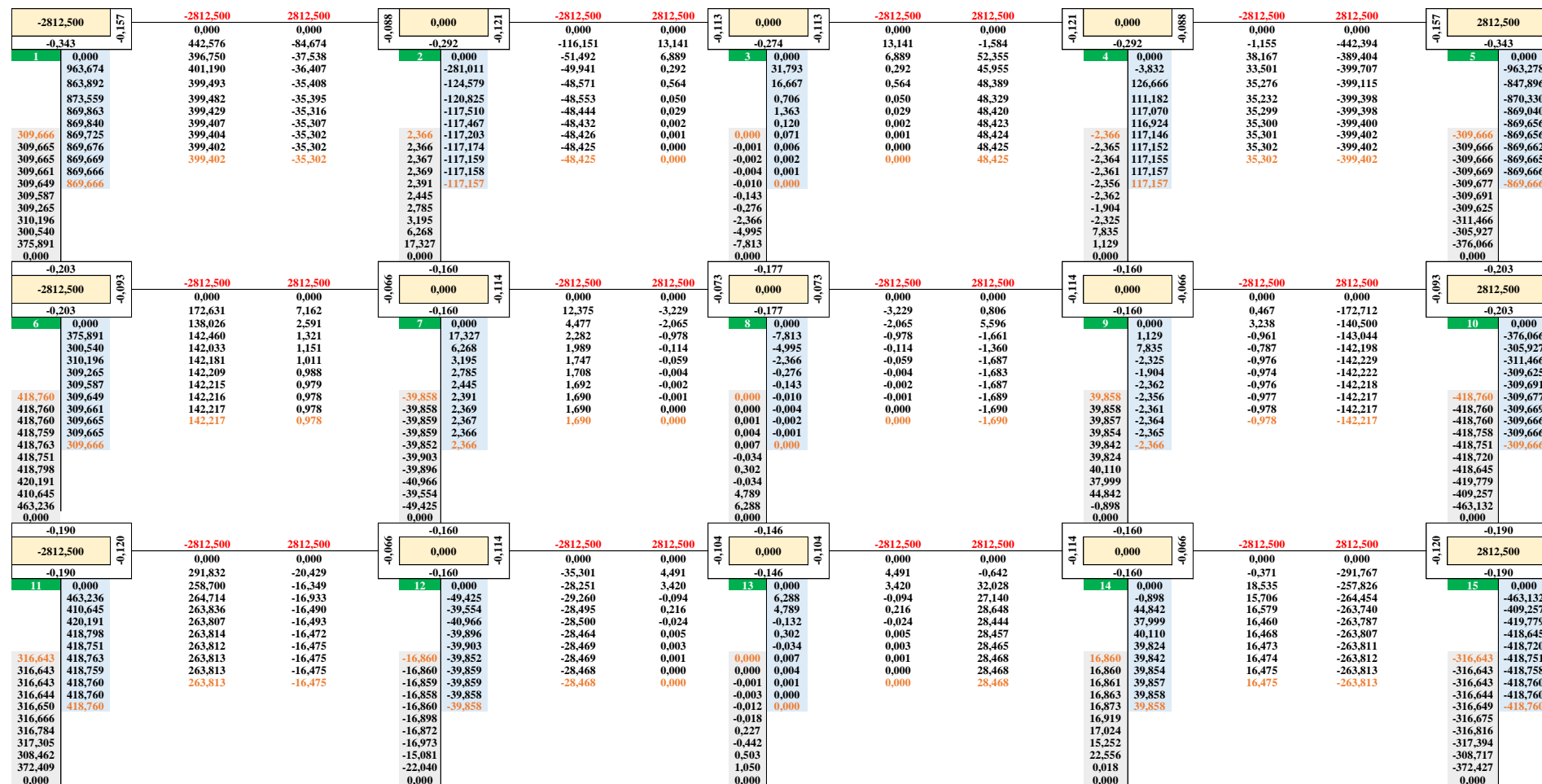
Anexo G Momentos de Empotramiento para Carga Muerta

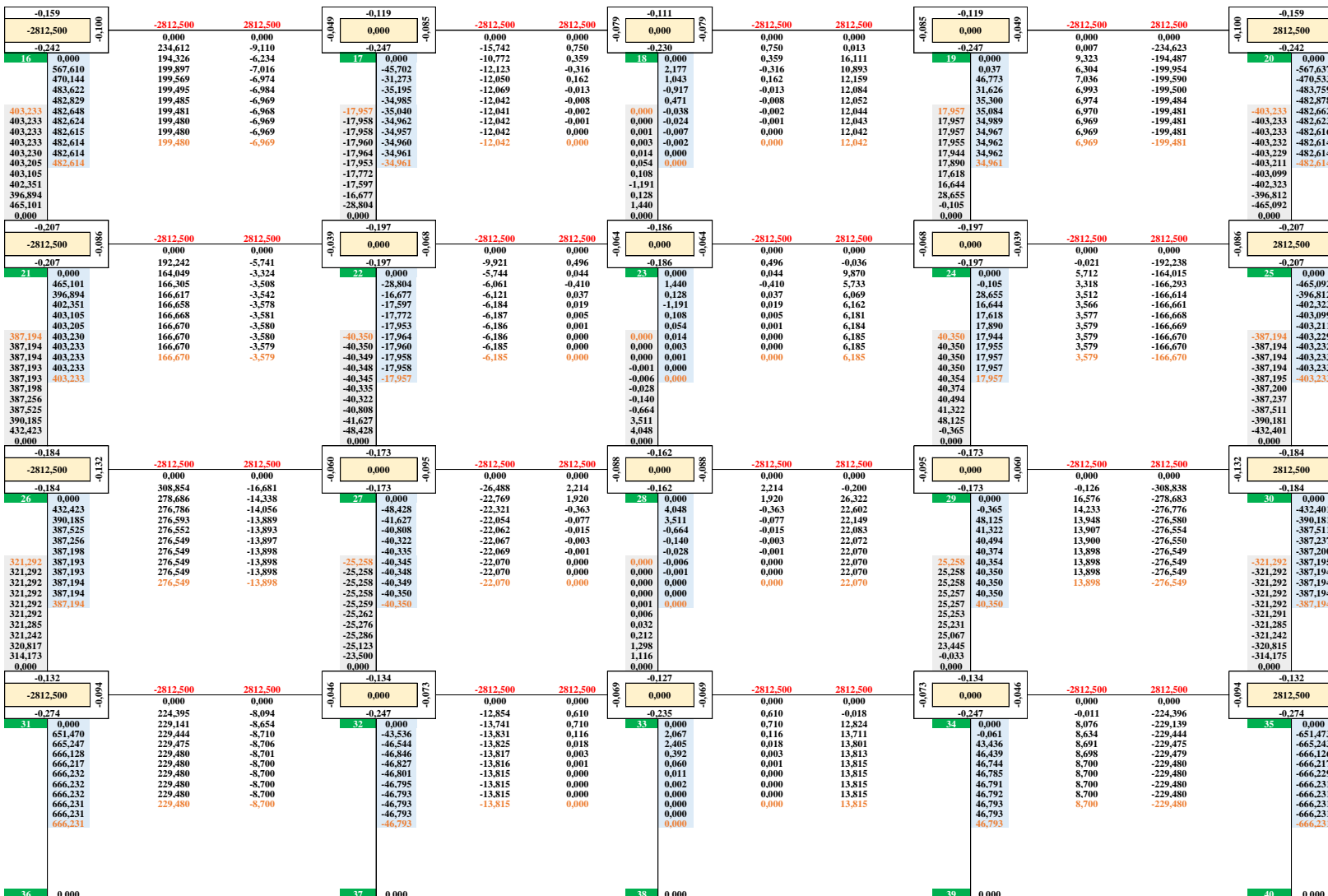
CARGA MUERTA									
NIVELES	VIGA	NUDOS	Longitud (m)	Altura entrepiso (m)	Ala colaborante(m)	Carga Muerta(kg/m2)	$C_{dist} = \text{Ala colaborante} * CM$	Momentos Empotrados(kg-m)	
								Izquierda	Derecha
Primero	55 58	31-32 = 34-35	6	3,1	6	750	4500	-8437,5	8437,5
	56 57	32-33 = 33-34	6	3,1	6	750	4500	-8437,5	8437,5
Segundo	46 49	26-27 = 29-30	6	3,1	6	750	4500	-8437,5	8437,5
	47 48	27-28 = 28-29	6	3,1	6	750	4500	-8437,5	8437,5
Tercero	37 40	21-22 = 24-25	6	3,1	6	750	4500	-8437,5	8437,5
	38 39	22-23 = 23-24	6	3,1	6	750	4500	-8437,5	8437,5
Cuarto	28 31	16-17 = 19-20	6	3,1	6	750	4500	-8437,5	8437,5
	29 30	17-18 = 18-19	6	3,1	6	750	4500	-8437,5	8437,5
Quinto	19 22	11-12 = 14-15	6	3,1	6	750	4500	-8437,5	8437,5
	20 21	12-13 = 13-14	6	3,1	6	750	4500	-8437,5	8437,5
Sexto	10 13	6-7 = 9-10	6	3,1	6	750	4500	-8437,5	8437,5
	11 12	7-8 = 8-9	6	3,1	6	750	4500	-8437,5	8437,5
Septimo	1 4	1-2 = 4-5	6	3,1	6	500	3000	-5625	5625
	2 3	2-3 = 3-4	6	3,1	6	500	3000	-5625	5625

Anexo H Momentos de Empotramiento para Carga Viva

CARGA VIVA									
NIVELES	VIGA	NUDOS	Longitud (m)	Altura (m)	Ala Colaborante (m ²)	Carga Viva (kg/m ²)	$C_{dist} = \text{Ala Colaborante} * CV$	Momentos Empotrados (kg-m)	
								Izquierda	Derecha
Primero	55 58	31-32 = 34-35	6	3,1	6	250	1500	-2812,5	2812,5
	56 57	32-33 = 33-34	6	3,1	6	250	1500	-2812,5	2812,5
Segundo	46 49	26-27 = 29-30	6	3,1	6	250	1500	-2812,5	2812,5
	47 48	27-28 = 28-29	6	3,1	6	250	1500	-2812,5	2812,5
Tercero	37 40	21-22 = 24-25	6	3,1	6	250	1500	-2812,5	2812,5
	38 39	22-23 = 23-24	6	3,1	6	250	1500	-2812,5	2812,5
Cuarto	28 31	16-17 = 19-20	6	3,1	6	250	1500	-2812,5	2812,5
	29 30	17-18 = 18-19	6	3,1	6	250	1500	-2812,5	2812,5
Quinto	19 22	11-12 = 14-15	6	3,1	6	250	1500	-2812,5	2812,5
	20 21	12-13 = 13-14	6	3,1	6	250	1500	-2812,5	2812,5
Sexto	10 13	6-7 = 9-10	6	3,1	6	250	1500	-2812,5	2812,5
	11 12	7-8 = 8-9	6	3,1	6	250	1500	-2812,5	2812,5
Septimo	1 4	1-2 = 4-5	6	3,1	6	250	1500	-2812,5	2812,5
	2 3	2-3 = 3-4	6	3,1	6	250	1500	-2812,5	2812,5

Anexo I Diagrama de Iteraciones del Pórtico Eje 3, Carga Viva





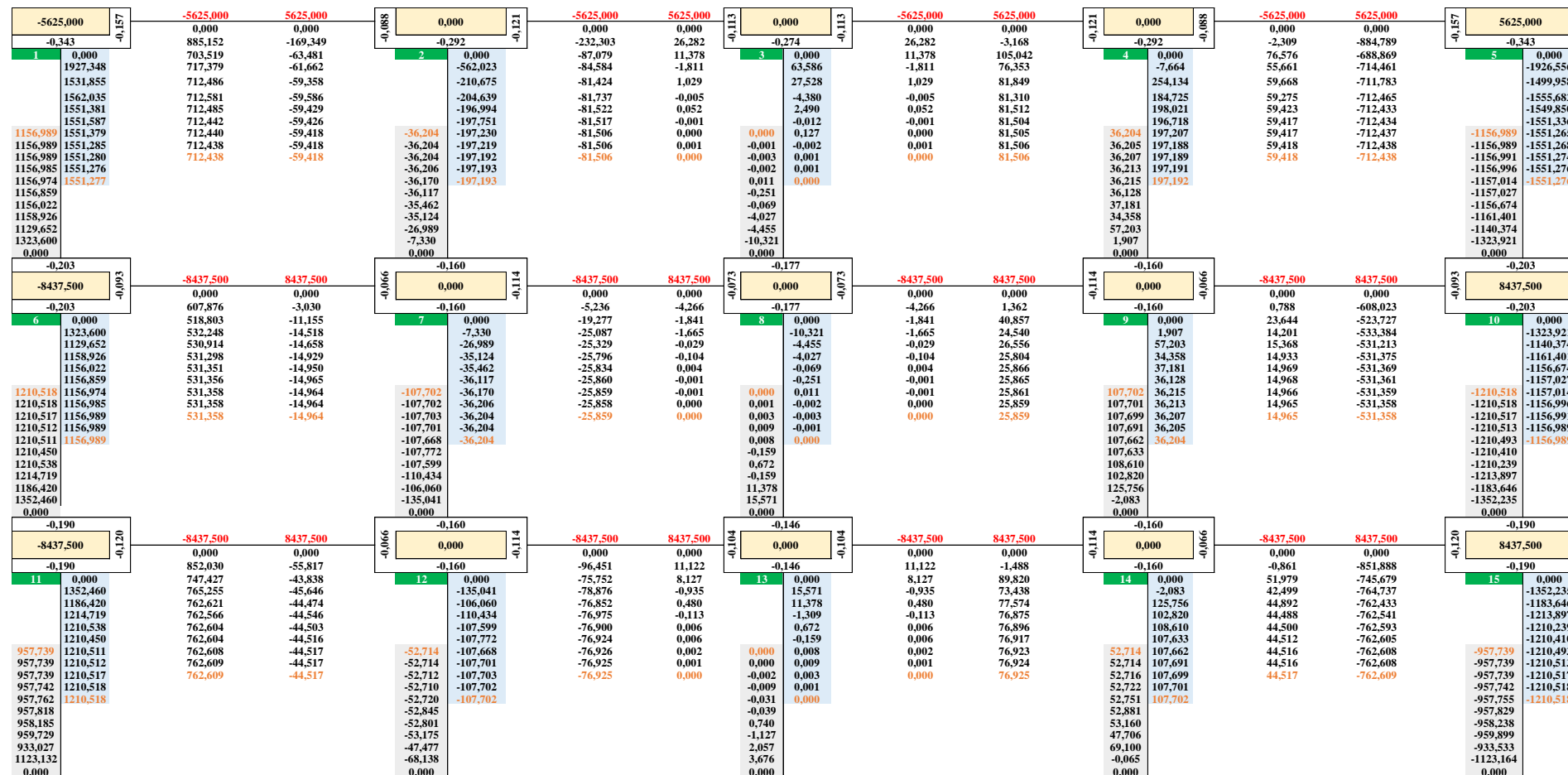
Anexo L Cálculos para Diagrama del Cortante de las Columnas "V", Carga Viva

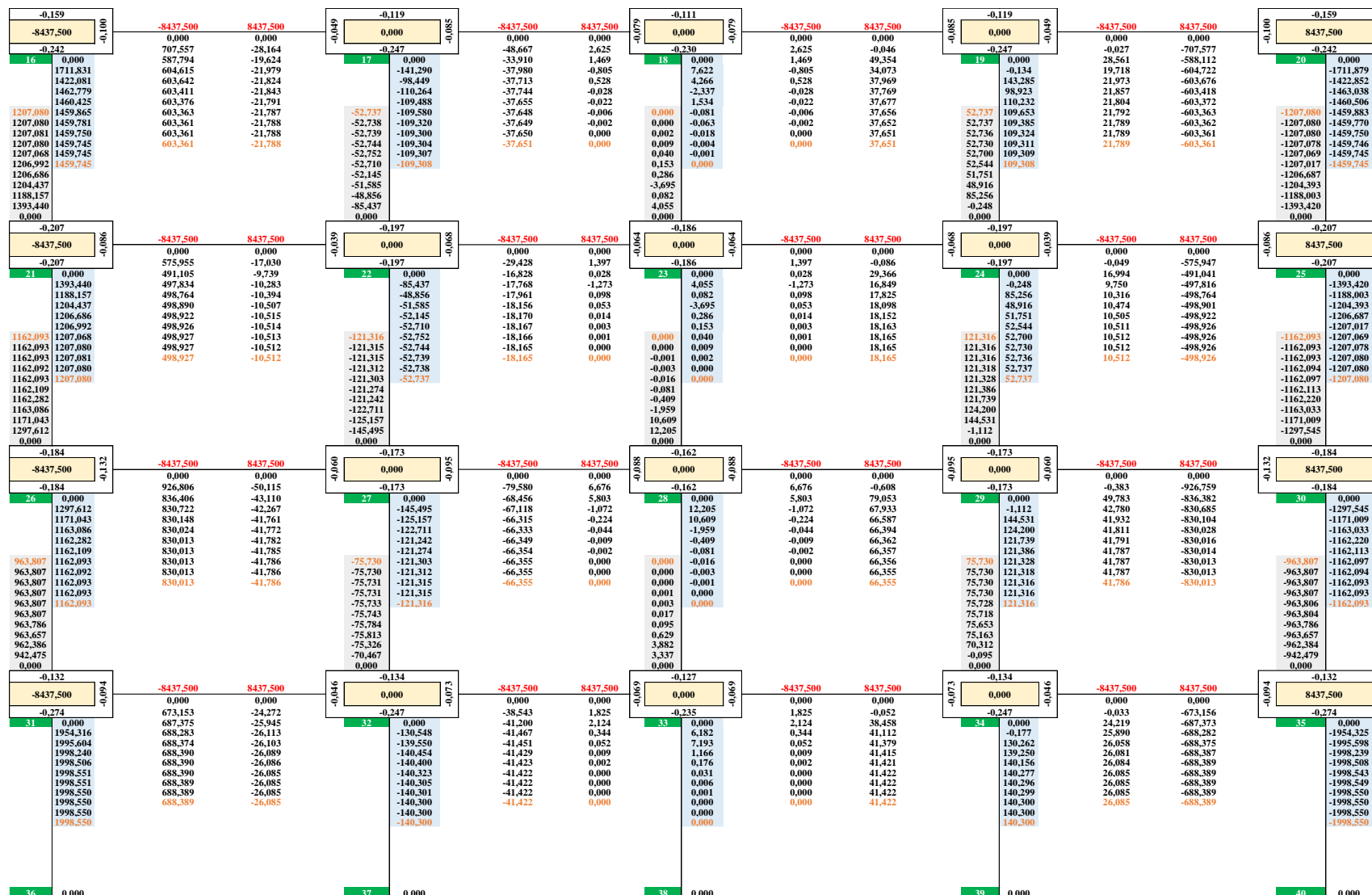
CORTANTE COLUMNA					
NIVELES	NUDO	M _{f1}	M _{f2}	H	V = $\frac{M_f1 + M_f2}{H}$
7	1-6	2048,998	1488,997	3,100	1141,289
	2-7	-231,949	-112,426	3,100	-111,089
	3-8	0,000	0,000	3,100	0,000
	4-9	231,948	112,426	3,100	111,088
	5-10	-2048,997	-1488,997	3,100	-1141,289
6	6-11	1038,091	1147,186	3,100	704,928
	7-12	-35,126	-77,350	3,100	-36,283
	8-13	0,000	0,000	3,100	0,000
	9-14	35,127	77,350	3,100	36,283
	10-15	-1038,091	-1147,186	3,100	-704,928
5	11-16	1154,163	1052,046	3,100	711,681
	12-17	-96,577	-73,578	3,100	-54,889
	13-18	0,000	0,000	3,100	0,000
	14-19	96,576	73,578	3,100	54,889
	15-20	-1154,163	-1052,046	3,100	-711,681
4	16-21	1368,461	1289,080	3,100	857,271
	17-22	-87,880	-70,876	3,100	-51,211
	18-23	0,000	0,000	3,100	0,000
	19-24	87,880	70,876	3,100	51,212
	20-25	-1368,461	-1289,080	3,100	-857,272
3	21-26	1193,660	1177,620	3,100	764,929
	22-27	-76,264	-98,657	3,100	-56,426
	23-28	0,000	0,000	3,100	0,000
	24-29	76,264	98,656	3,100	56,426
	25-30	-1193,660	-1177,620	3,100	-764,929
2	26-31	1095,679	1029,778	3,100	685,631
	27-32	-105,957	-90,865	3,100	-63,491
	28-33	0,000	0,000	3,100	0,000
	29-34	105,957	90,865	3,100	63,491
	30-35	-1095,679	-1029,778	3,100	-685,631
1	31-36	1332,463	666,231	3,100	644,740
	32-37	-93,585	-46,793	3,100	-45,283
	33-38	0,000	0,000	3,100	0,000
	34-39	93,585	46,793	3,100	45,283
	35-40	-1332,463	-666,231	3,100	-644,740

Anexo M Cálculos para Diagrama del Cortante de las Vigas "ri" y "rj" - Calculo de Momento Máximo "Mmax", Carga Viva

MOMENTO VIGA CARGA VIVA												
NIVELES	NUDO	Mfi	Mfj	L	W	Rh = $\frac{M_{fi} + M_{fj}}{L}$	Ri = $\frac{W * L}{4}$	RJ = $\frac{W * L}{4}$	ri = Ri - Rh	rj = Rj + Rh	$\bar{x}_o = \frac{L}{2}$	Momento Maximo (kg-m) $M_{max} = (ri * \bar{x}_o) + M_{fi} - \frac{(W * \bar{x}_o^3)}{3 * L}$
7	1-2	-2048,997	3141,298	6,000	1500,000	182,050	2250,000	2250,000	2067,950	2432,050	3,000	1904,852
	2-3	-2909,350	2764,075	6,000	1500,000	-24,212	2250,000	2250,000	2274,212	2225,788	3,000	1663,287
	3-4	-2764,075	2909,350	6,000	1500,000	24,213	2250,000	2250,000	2225,787	2274,213	3,000	1663,288
	4-5	-3141,299	2048,998	6,000	1500,000	-182,050	2250,000	2250,000	2432,050	2067,950	3,000	1904,852
6	6-7	-2527,089	2956,673	6,000	1500,000	71,597	2250,000	2250,000	2178,403	2321,597	3,000	1758,119
	7-8	-2809,120	2814,190	6,000	1500,000	0,845	2250,000	2250,000	2249,155	2250,845	3,000	1688,345
	8-9	-2814,190	2809,121	6,000	1500,000	-0,845	2250,000	2250,000	2250,845	2249,155	3,000	1688,345
	9-10	-2956,672	2527,089	6,000	1500,000	-71,597	2250,000	2250,000	2321,597	2178,403	3,000	1758,119
5	11-12	-2301,349	3043,363	6,000	1500,000	123,669	2250,000	2250,000	2126,331	2373,669	3,000	1827,644
	12-13	-2869,437	2784,032	6,000	1500,000	-14,234	2250,000	2250,000	2264,234	2235,766	3,000	1673,266
	13-14	-2784,032	2869,437	6,000	1500,000	14,234	2250,000	2250,000	2235,766	2264,234	3,000	1673,266
	14-15	-3043,363	2301,349	6,000	1500,000	-123,669	2250,000	2250,000	2373,669	2126,331	3,000	1827,644
4	16-17	-2420,508	2998,043	6,000	1500,000	96,256	2250,000	2250,000	2153,744	2346,256	3,000	1790,725
	17-18	-2836,584	2800,458	6,000	1500,000	-6,021	2250,000	2250,000	2256,021	2243,979	3,000	1681,479
	18-19	-2800,458	2836,584	6,000	1500,000	6,021	2250,000	2250,000	2243,979	2256,021	3,000	1681,479
	19-20	-2998,043	2420,508	6,000	1500,000	-96,256	2250,000	2250,000	2346,256	2153,744	3,000	1790,725
3	21-22	-2482,740	2972,011	6,000	1500,000	81,545	2250,000	2250,000	2168,455	2331,545	3,000	1772,625
	22-23	-2824,871	2806,315	6,000	1500,000	-3,093	2250,000	2250,000	2253,093	2246,907	3,000	1684,407
	23-24	-2806,315	2824,871	6,000	1500,000	3,093	2250,000	2250,000	2246,907	2253,093	3,000	1684,407
	24-25	-2972,011	2482,740	6,000	1500,000	-81,545	2250,000	2250,000	2331,545	2168,455	3,000	1772,625
2	26-27	-2273,300	3061,253	6,000	1500,000	131,326	2250,000	2250,000	2118,674	2381,326	3,000	1832,724
	27-28	-2856,640	2790,430	6,000	1500,000	-11,035	2250,000	2250,000	2261,035	2238,965	3,000	1676,465
	28-29	-2790,430	2856,640	6,000	1500,000	11,035	2250,000	2250,000	2238,965	2261,035	3,000	1676,465
	29-30	-3061,253	2273,300	6,000	1500,000	-131,326	2250,000	2250,000	2381,326	2118,674	3,000	1832,724
1	31-32	-2362,240	3024,580	6,000	1500,000	110,390	2250,000	2250,000	2139,610	2360,390	3,000	1806,590
	32-33	-2840,130	2798,685	6,000	1500,000	-6,907	2250,000	2250,000	2256,907	2243,093	3,000	1680,593
	33-34	-2798,685	2840,130	6,000	1500,000	6,907	2250,000	2250,000	2243,093	2256,907	3,000	1680,593
	34-35	-3024,580	2362,240	6,000	1500,000	-110,390	2250,000	2250,000	2360,390	2139,610	3,000	1806,590

Anexo O Diagrama de Iteraciones del Pórtico Eje 3, Carga Muerta





Anexo R Cálculos para Diagrama del Cortante de las Columnas "V", Carga Muerta

CORTANTE COLUMNA					
NIVELES	NUDO	M _{f1}	M _{f2}	H	Cortante (kg) $V = \frac{M_{f1} + M_{f2}}{H}$
7	1-6	4259,542	3865,254	3,100	2620,902
	2-7	-430,590	-269,601	3,100	-225,868
	3-8	0,000	0,000	3,100	0,000
	4-9	430,589	269,601	3,100	225,868
	5-10	-4259,541	-3865,254	3,100	-2620,902
6	6-11	3524,495	3578,025	3,100	2291,136
	7-12	-180,110	-251,608	3,100	-139,264
	8-13	0,000	0,000	3,100	0,000
	9-14	180,110	251,608	3,100	139,264
	10-15	-3524,495	-3578,025	3,100	-2291,136
5	11-16	3378,775	3125,995	3,100	2098,313
	12-17	-268,118	-213,130	3,100	-155,241
	13-18	0,000	0,000	3,100	0,000
	14-19	268,118	213,130	3,100	155,241
	15-20	-3378,775	-3125,996	3,100	-2098,313
4	16-21	4126,570	3873,906	3,100	2580,799
	17-22	-271,353	-214,782	3,100	-156,818
	18-23	0,000	0,000	3,100	0,000
	19-24	271,353	214,782	3,100	156,818
	20-25	-4126,570	-3873,906	3,100	-2580,799
3	21-26	3576,254	3531,267	3,100	2292,748
	22-27	-226,790	-295,368	3,100	-168,438
	23-28	0,000	0,000	3,100	0,000
	24-29	226,790	295,368	3,100	168,438
	25-30	-3576,254	-3531,267	3,100	-2292,748
2	26-31	3287,993	3089,707	3,100	2057,323
	27-32	-318,361	-272,776	3,100	-190,690
	28-33	0,000	0,000	3,100	0,000
	29-34	318,361	272,776	3,100	190,690
	30-35	-3287,993	-3089,707	3,100	-2057,323
1	31-36	3997,099	1998,550	3,100	1934,080
	32-37	-280,600	-140,300	3,100	-135,774
	33-38	0,000	0,000	3,100	0,000
	34-39	280,600	140,300	3,100	135,774
	35-40	-3997,099	-1998,550	3,100	-1934,080

